

تهیه و ارزیابی فیلم دو لایه مخاط چسب فنتولامین مزیلات جهت بازگشت بی‌حسی موضعی بافت نرم دهان

دکتر رحیم بحری نجفی^{*}، محمد فاضل پورابوطالب^۱، دکتر ابوالفضل اصلانی^۲،
دکتر محمد پیکان پور^۳، دکتر امید فاخران اصفهانی^۴

چکیده

مقدمه: مدت بی‌حسی بافت نرم پس از تزریق داروی بی‌حسی در دندانپزشکی، اغلب طولانی است که سبب دشواری در بلع، تکلم، گاز گرفتن ناخواسته بافت نرم و اختلال موقت کیفیت زندگی می‌شود. تزریق داخل دهانی فنتول آمین مزیلات برای کاهش مدت بی‌حسی استفاده می‌شود. به منظور آسیب بافتی کمتر و کاهش درد، می‌توان از شکل دارویی مخاط چسب به جای شکل تزریقی استفاده کرد. در این مطالعه، فیلم دو لایه مخاط چسب فنتولامین مزیلات، دارای یک لایه مقاوم برای نفوذ یک طرفه دارو، طراحی و ارزیابی شد.

مواد و روش‌ها: در این پژوهش تجربی، از پلیمرهای مخاط چسب به همراه دارو در لایه اول و از اتیل سلولز برای لایه دوم استفاده شد. از پلاستی سایزر و از هم پاشانده و نیز ماده اسموتیک هم در لایه اول استفاده شد. فیلم‌های تهیه شده از نظر ویژگی‌های فیزیکی و داروسازی مانند انعطاف، ضخامت، چسبندگی *in vivo*، زمان شروع از هم پاشیدن و انحلال، pH سطحی و مقدار دارو و روند آزادسازی در *in vitro* ارزیابی شدند. فرمولاسیون برگزیده، بر اساس معیارهای استاندارد موجود در مطالعات پیشین انتخاب شد.

یافته‌ها: با تهیه فرمولاسیون‌های مختلف (۴۴ فرمولاسیون)، بهترین فرمولاسیون مخلوط پلیمرهای پلی وینیل الكل و سدیم کربوکسی متیل سلولز و از هم پاشانده سدیم استارچ گلایکولات، با ویژگی‌های فارماسیوتیکس مطلوب بود که بیشترین میزان آزادسازی (۹۶ درصد) را در پی داشت. پلیمر اتیل سلولز ۱۰۰ cps و حلal الكل به منظور ساخت لایه دوم (مقاوم) انتخاب شد. فرمولاسیون منتخب دارای ویژگی‌های استاندارد، بر اساس مطالعات پیشین بود.

نتیجه‌گیری: تهیه فیلم مخاط چسب فنتولامین مزیلات به منظور بازگشت بی‌حسی موضعی بافت نرم در دندانپزشکی، با ویژگی‌های دارویی مناسب امکان‌پذیر است.

کلید واژه‌ها: بی‌حسی موضعی، فنتول آمین مزیلات، داروسازی

* دانشیار، گروه فارماسیوتیکس، دانشکده داروسازی، دانشگاه علوم پزشکی اصفهان، اصفهان، ایران (مؤلف مسؤول)
bahrir@pharm.mui.ac.ir

: دانشجوی داروسازی، دانشکده داروسازی، دانشگاه علوم پزشکی اصفهان، اصفهان، ایران

: استادیار، گروه فارماسیوتیکس، دانشکده داروسازی، مرکز تحقیقات دارویی، دانشگاه علوم پزشکی اصفهان، اصفهان، ایران

: دکرای داروسازی، گروه فارماسیوتیکس، دانشکده داروسازی، دانشگاه علوم پزشکی اصفهان، اصفهان، ایران

: دستیار تخصصی، گروه پریوتدتیکس، دانشکده دندانپزشکی، دانشگاه علوم پزشکی کرمان، کرمان، ایران

این مقاله حاصل پایان‌نامه دکتری داروسازی در دانشگاه علوم پزشکی اصفهان به شماره ۳۸۹۴۳۹ می‌باشد.

این مقاله در تاریخ ۹۲/۱/۲۴ به دفتر مجله رسیده، در تاریخ ۹۲/۴/۲۱ اصلاح شده و در تاریخ ۹۲/۵/۱۵ تأیید گردیده است.

مجله دانشکده دندانپزشکی اصفهان
۳۴۸ تا ۳۳۷: (۴)۹: ۱۳۹۲

مقدمه

مورد نظر دارد که سبب آسیب بافتی بیشتر می‌شود. استفاده از فیلم مخاط چسب PA برای بازگشت بی‌حسی، نسبت به شکل آمپول آن می‌تواند از وارد ساختن آسیب بافتی به بیمار و شاید کاهش درد متعاقب در فک بکاهد. همچنین بیمار می‌تواند نسبت به شروع یا قطع درمان در خارج از مطب اقدام نماید.

یکی از اهداف تهیه سیستم‌های دارورسانی جدید، فراهم نمودن شکل دارویی با حداقل عوارض و بیشترین اثر درمانی می‌باشد. برای این منظور یکی از شکل‌های دارویی که تحقیقات زیادی بر روی آن در حال انجام می‌باشد، فیلم‌های دارویی است که می‌توان آن‌ها را به شکل‌های مختلف آهسته رهش، سریع حل شونده و با رهش کنترل شده تهیه نمود. فیلم‌های متنوعی نظیر فیلم مخاط چسب تریامسینولون برای درمان آفت و بیماری‌های التهابی دهان و نیز فیلم مخاط چسب سالبوتامول، فاموتیدین، سیپروفلوکساسین مورد مطالعه و ارزیابی قرار گرفته‌اند[۶-۹].

فیلم مخاط چسب لیدوکائین جهت ایجاد بی‌حسی بافت نرم دهان مورد مطالعه و درجه نفوذ و آزادسازی آن مورد ارزیابی قرار گرفته است[۱۰]، اما تاکنون برای بازگشت بی‌حسی، شکل دارویی مخاط چسبی طراحی نشده است.

در این مطالعه فیلم‌ها با استفاده از پلیمرهای مخاط چسب و از هم پاشانده‌ها و پلاستی سایزرها و افزاینده‌های نفوذ مختلف ساخته شد. فیلم‌های تهیه شده از نظر ویژگی‌های ظاهری، زمان از هم پاشیدن و انحلال، pH سطحی، محتوای دارویی فیلم، میزان و کینتیک آزادسازی دارو، مورد ارزیابی قرار گرفتند. برای آزادسازی یک طرفه دارو به منظور کاهش حذب سیستمیک و داشتن عوارض جانبی کمتر، یک لایه مقاوم بر روی فیلم قرار داده شد[۱۱]. هدف این مطالعه، تهیه و ارزیابی فیلم مخاط چسب PA با ابعاد $2 \times 1 \text{ cm}^2$ است که بتوان از آن برای بازگشت بی‌حسی و افزایش کیفیت زندگی بیماران، بدون ایجاد آسیب بافتی جدید استفاده کرد.

مواد و روش‌ها

مواد و دستگاه‌های به کار رفته

کلیه مواد و وسایل مورد استفاده در این مطالعه همراه با نام مخفف و مشخصات در جدول ۱ ارایه شده‌اند. در این مطالعه

به منظور بی‌حسی بافت‌های دهان و دندان در دندانپزشکی از داروهای بی‌حسی حاوی آگونیست‌های آلفا آدرنرژیک مانند اپی نفرین استفاده می‌شود[۱]. آگونیست‌های آلفا آدرنرژیک، سبب انقباض عروق و در نتیجه کاهش جذب سیستمیک داروی بی‌حسی در محل تزریق می‌شود و بی‌حسی عمیق‌تر و طولانی‌تری برای پالپ دندان فراهم می‌کند[۱]. ماندگاری بی‌حسی بافت نرم متعاقب درمان دندانپزشکی (۳ تا ۵ ساعت) اغلب بیش از میزان لازم می‌باشد[۲]. از مهم‌ترین عوارض بی‌حسی طولانی مدت بافت نرم می‌توان به دشواری در بلع، صحبت کردن و شاید گرفتن ناخواسته لب‌ها، زبان و گونه، به ویژه در کودکان، سالمدان و عقب ماندگان ذهنی اشاره کرد که می‌تواند به طور موقت کیفیت زندگی بسیاری از بیماران را کاهش دهد[۳]. یکی از راههای مقابله با بی‌حسی طولانی مدت بافت نرم، استفاده از آنتاگونیست‌های داروهای منقبض کننده عروقی می‌باشد. این داروها عروق خونی ناحیه را از انقباض خارج می‌کنند و جریان خون به محل تزریق افزایش می‌یابد و در نتیجه داروهای بی‌حسی موجود در بافت، سریع‌تر تخلیه می‌شوند. برایند این فرایندها باعث می‌شود که بی‌حسی بافت نرم و سخت ناحیه در مدت زمان کمتری از بین بود و حس طبیعی و استاندارد به بیمار بازگردد. یکی از داروهایی که قبلًا به این FDA (Food and drug administration) منظور مورد تأیید (Oraverse®) قرار گرفته است، داروی فنتولامین مزیلات می‌باشد[۴].

(Phentolamine mesilate) یک مهار کننده غیر انتخابی گیرنده‌های آلفا آدرنرژیک است. این دارو برای فشار خون، نکروز پوستی ناشی از ترشح بیش از حد نور اپی نفرین و برای تشخیص و درمان بیماران فتوکرومای سایتوما استفاده می‌شود[۴]. اولین اثر PA (Phentolamine mesilate) همانند دیگر مهار کننده‌های آلفا، گشاد کردن عروق است[۳]. تزریق ۰.۸ mg از PA در محل تزریق بی‌حسی می‌تواند بدون عوارض جانبی قابل توجه، به بازگشت سریع حس طبیعی به بافت‌های دهانی کمک کند[۵].

Oraverse® به شکل کارتربیج دندانپزشکی تولید شده است. استفاده از این شکل دارویی نیاز به تزریق مجدد در محل

هر قطعه فیلم $2 \times 1 \text{ cm}^2$ بود که بر اساس مقدار داروی تجویزی تزریقی می‌باشد [۱۴]. لایه دوم به دو صورت، با حل نمودن اتیل سلولز ۱۰۰ cps در الکل و دیگری با حل نمودن اتیل سلولز ۱۰ cps در مخلوط الکل و تولوئن تهیه شد. ۲ میلی‌لیتر از آن‌ها بر روی لایه اول ریخته شد و با گذاشتن در دمای اتاق خشک شد. در مجموع، ۴۴ فرمولاسیون طراحی شد. در طراحی جداول، ابتدا طبق جدول ۲، فرمولاسیون‌هایی با انواع و مقادیر مختلف پلیمرها و پلاستی سایزرهای تهیه و ارزیابی شد. سپس فرمولاسیون‌های منتخب، طبق جدول ۳ با از هم پاشاننده‌های مختلف و ماده اسموتیک، ارزیابی شد. مقادیر پلیمر HPMC بر اساس مطالعه فیلم مخاط چسب فاموتیدین و مقادیر پلیمر PVA و NaCMC بر اساس مطالعات انجام گرفته در تهیه فیلم مخاط چسب سالبوتامول صورت گرفت [۸، ۷]. مقدار از هم پاشاننده‌ها و ماده اسموتیک بر اساس مطالعات انجام گرفته در تهیه فیلم مخاط چسب سیپروفلوکساسین و مونته لوکاست طراحی شد [۹، ۱۲]. فرمولاسیون‌های لایه دوم (مقاوم) طبق جدول ۴ تهیه شد. فرمولاسیون‌های نهایی دو لایه طبق جدول ۵ تهیه شد. نتایج ارزیابی جدول‌های ۲، ۳ و ۵ در جدول ۶ ذکر شده است. بررسی ظاهری فیلم‌ها به طور مacroscopic انجام شد که باید دارای سطح صاف، نرم، شفاف و بدون حباب باشد.

جدول ۱. مشخصات مواد و وسائل به کار رفته در مطالعه حاضر

| نام ماده | | |
|--------------------------------------|---|--|
| نام و مشخصات کارخانه سازنده | | |
| (Sigma, Germany) | Phentolamine mesilate (PA) | |
| (Dow, United State) | Hydroxy Propyl Methyl Cellulose 6cps (HPMC) | |
| (Merck, Germany) | Sodium carboxy methyl cellulose (NaCMC) | |
| (Merck, Germany) | Polyvinyl alcohol 40000cps (PVA) | |
| (Dow, United State) | Ethyl cellulose 10,100 CPS (EC) | |
| (Merck, Germany) | Glycerin (Gly) | |
| (Daru Pakhsh, Iran) | Sodium Lauryl Sulphate (SLS) | |
| (Amin, Iran) | Micro crystallin cellulose (MCC) | |
| (Amin, Iran) | Sodium startch glycolate (SSG) | |
| (Merck, Germany) | Tolouen | |
| (UV-1650 PC, Shimadzu, Japan) | UV/ VIS double-beam spectrophotometer | |
| (Gallenkamp thermo stirrer 100, EEC) | Franz cell device attached bath | |
| (632 METROHM, Switzerland) | pH Meter | |
| (KBLee2020 Daiki, South Korea) | orbital water bath | |
| (GB/T14899-94, China) | The digital micrometer | |
| (IKA RH basic 2, Brazil) | Stirrer machine | |

جدول ۲. فرمولاسیون‌های فیلم با انواع و مقادیر مختلف پلیمر و پلاستی سایزره

| Gly (ml) | PG (ml) | NaCMC (mg) | PVA (mg) | HPMC (mg) | فرمولاسیون |
|----------|---------|------------|----------|-----------|------------|
| ۱/۰ | - | ۲۰۰ | - | - | A-1 |
| ۰/۵ | ۱ | ۴۰۰ | - | - | A-2 |
| ۰/۵ | ۱ | ۶۰۰ | - | - | A-3 |
| ۱/۰ | - | ۸۰۰ | - | - | A-4 |
| ۱/۰ | - | ۱۰۰۰ | - | - | A-5 |
| ۱/۰ | - | ۸۰۰ | ۲۰۰ | - | A-6 |
| ۱/۰ | - | ۶۰۰ | ۴۰۰ | - | A-7 |
| ۰/۵ | ۱ | ۴۰۰ | ۶۰۰ | - | A-8 |
| ۰/۵ | ۱ | ۲۰۰ | ۸۰۰ | - | A-9 |
| ۰/۵ | ۱ | ۱۰۰ | ۹۰۰ | - | A-10 |
| ۱/۰ | - | - | ۱۰۰۰ | - | A-11 |
| ۱/۰ | - | - | - | ۴۸۰ | A-12 |
| ۱/۰ | - | ۱۶۰ | - | ۳۲۰ | A-13 |

HPMC: Hydroxy propyl methyl cellulose
PG: Propylene glycolPVA: Poly vinyl alcohol
Gly: Glycerin

NaCMC: Sodium carboxy methyl cellulose

جدول ۳. فرمولاسیون‌های فیلم با انواع و مقادیر مختلف از هم پاشاننده

| NaCl (mg) | Gly (ml) | PG (ml) | SLS (mg) | MCC (mg) | SSG (mg) | PVA (mg) | NaCMC (mg) | HPMC (mg) | فرمولاسیون |
|-----------|----------|---------|----------|----------|----------|----------|------------|-----------|------------|
| - | ۰/۵ | ۱ | ۳ | - | - | ۹۰۰ | ۱۰۰ | - | B-1 |
| - | ۰/۵ | ۱ | ۱۰ | - | - | ۹۰۰ | ۱۰۰ | - | B-2 |
| ۱۰ | ۰/۵ | ۱ | ۱۰ | - | - | ۹۰۰ | ۱۰۰ | - | B-3 |
| - | ۰/۵ | ۱ | ۳۰ | - | - | ۹۰۰ | ۱۰۰ | - | B-4 |
| - | ۰/۵ | ۱ | ۹۰ | - | - | ۹۰۰ | ۱۰۰ | - | B-5 |
| - | ۰/۵ | ۱ | ۲۷۰ | - | - | ۹۰۰ | ۱۰۰ | - | B-6 |
| - | ۰/۵ | ۱ | - | ۲۰ | - | ۹۰۰ | ۱۰۰ | - | B-7 |
| ۲۰ | ۰/۵ | ۱ | - | ۲۰ | - | ۹۰۰ | ۱۰۰ | - | B-8 |
| - | ۰/۵ | ۱ | - | ۴۰ | - | ۹۰۰ | ۱۰۰ | - | B-9 |
| - | ۰/۵ | ۱ | - | ۶۰ | - | ۹۰۰ | ۱۰۰ | - | B-10 |
| - | ۰/۵ | ۱ | - | - | ۱۰ | ۹۰۰ | ۱۰۰ | - | B-11 |
| ۳۰ | ۰/۵ | ۱ | - | - | ۱۰ | ۹۰۰ | ۱۰۰ | - | B-12 |
| - | ۰/۵ | ۱ | - | - | ۲۰ | ۹۰۰ | ۱۰۰ | - | B-13 |
| - | ۰/۵ | ۱ | - | - | ۴۰ | ۹۰۰ | ۱۰۰ | - | B-14 |
| - | ۰/۵ | ۱ | ۱۰ | - | - | - | ۴۰۰ | - | B-15 |
| - | ۰/۵ | ۱ | ۱۰ | - | - | - | ۱۶۰ | ۳۲۰ | B-16 |

HPMC: Hydroxy propyl methyl cellulose
SSG: Sodium starch glycolate
PG: Propylene glycolNaCMC: Sodium carboxy methyl cellulose
MCC: Micro crystalline cellulose
Gly: GlycerinePVA: Poly vinyl alcohol
SLS: Sodium lauryl sulphate
NaCl: Sodium chloride

جدول ۴. فرمولاسیون‌های لایه دوم فیلم (لایه مقاوم)

| Ethanol 96 (ml) | Toluene (ml) | PG (ml) | EC 100cps (mg) | EC 10 cps (mg) | فرمولاسیون |
|-----------------|--------------|---------|----------------|----------------|------------|
| ۴ | ۱۶ | ۰/۱ | - | ۴۴۰ | C-1 |
| ۴ | ۱۶ | ۰/۱ | - | ۵۰۰ | C-2 |
| ۴ | ۱۶ | ۰/۱ | - | ۵۶۰ | C-3 |
| ۴ | ۱۶ | ۰/۱ | - | ۶۲۰ | C-4 |
| ۴ | ۱۶ | ۰/۱ | - | ۶۸۰ | C-5 |
| ۴ | ۱۶ | ۰/۱ | - | ۷۴۰ | C-6 |
| ۲۰ | - | ۰/۱ | ۵۰ | - | C-7 |
| ۲۰ | - | ۰/۱ | ۱۰۰ | - | C-8 |
| ۲۰ | - | ۰/۱ | ۲۰۰ | - | C-9 |
| ۲۰ | - | ۰/۱ | ۴۰۰ | - | C-10 |

EC: Ethyl cellulose

PG: Propylene glycol

جدول ۵. فرمولاسیون‌های نهایی منتخب دو لایه

| لایه دوم | | | | | | | لایه اول | | | | فرمولاسیون |
|-----------------|---------|-----------------|---------|----------|----------|----------|------------|----------|---------|-----|------------|
| Ethanol 96 (ml) | PG (ml) | EC 100 cps (mg) | PG (ml) | Gly (ml) | SSG (mg) | SLS (mg) | NaCMC (mg) | PVA (mg) | PA (mg) | | |
| ۲۰ | ۰/۱ | ۱۰۰ | ۱ | ۰/۵ | - | - | ۴۰۰ | - | ۱/۰۸ | D-1 | |
| ۲۰ | ۰/۱ | ۱۰۰ | ۱ | ۰/۵ | - | ۱۰ | ۴۰۰ | - | ۱/۰۸ | D-2 | |
| ۲۰ | ۰/۱ | ۱۰۰ | ۱ | ۰/۵ | - | - | ۱۰۰ | ۹۰۰ | ۱/۰۸ | D-3 | |
| ۲۰ | ۰/۱ | ۱۰۰ | ۱ | ۰/۵ | - | ۱۰ | ۱۰۰ | ۹۰۰ | ۱/۰۸ | D-4 | |
| ۲۰ | ۰/۱ | ۱۰۰ | ۱ | ۰/۵ | ۱۰ | - | ۱۰۰ | ۹۰۰ | ۱/۰۸ | D-5 | |

PA: Phentolamine mesylate

SLS: Sodium lauryl sulphate

PG: Propylene glycol

PVA: Poly vinyl alcohol

SSG: Sodium starch glycolate

EC: Ethyl cellulose

NaCMC: Sodium carboxy methyl cellulose

Gly: Glycerin

واضح نباید اما نور از آن گذر کند؛
 - +۳: شفاف به طوری که نوشтар پشت فیلم به طور کاملاً
 واضح دیده شود.
 ضخامت فیلم‌ها: ضخامت هر یک از فیلم‌ها در سه مکان مختلف آن اندازه‌گیری و میانگین گزارش شد[۸].
 برای تعیین مقدار داروی فیلم‌ها، فیلم‌های منتخب دو لایه تهیه شده ($2 \times 1\text{cm}^3$) را در ۲۵ میلی‌لیتر از بافر فسفات با pH در دمای ۳۷ درجه سانتی‌گراد انداده و با همزن مغناطیسی تا یک ساعت بهم زده تا لایه اول فیلم کاملاً از هم پاشیده شود.
 لایه دوم حل نشده را جدا و سپس محلول باقی‌مانده از کاغذ صافی عبور داده شد. این محلول با اسپکتروفوتومتر UV-Vis در طول موج ۲۷۸ نانومتر و با کمک منحنی استاندارد تعیین مقدار شد. بلانک استفاده شده، فیلم دو لایه یکسان اما فاقد دارو بود که فرایند فوق دقیقاً روی آن انجام شد[۱۶].

تحمل در مقابل تا شدن: برای استحکام از +۱ تا +۴ تعریف می‌گردد[۱۵]:
 - +۱: خشک و شکننده پس از تا کردن کمتر از سه بار در یک خط؛
 - +۲: با قوام و محکم و شکننده پس از تا کردن کمتر از ده بار در یک خط؛
 - +۳: با نرمی مناسب و غیر شکننده پس از تا کردن بیش از ده بار در یک خط؛
 - +۴: بسیار منعطف، بدون قوام مناسب.
 شفافیت فیلم‌ها[۱۵]: از +۱ تا +۳ دسته‌بندی می‌شود (شفافیت فیلم‌ها به طور نسبی، در محیط آزمایشگاه و با توجه به صفحه نوشتری که در زیر فیلم قرار می‌گیرد بررسی می‌شوند).
 - +۱: کدر به طوری که نوشtar پشت فیلم دیده نشود؛
 - +۲: نیمه شفاف به طوری که فضای پشت فیلم به طور

جدول ۶. نتایج ارزیابی دارویی فیلم‌های تهیه شده

| pH سطحی | زمان انحلال (min) | زمان شروع از هم پاشیدن (min) | قدرت چسبندگی (N) | تحمل در مقابل تا شدن | شفافیت | ضخامت | فرمولاسیون |
|---------|-------------------|------------------------------|------------------|----------------------|--------|-------|------------|
| - | ۸ | ۱/۰ | ۰/۳۱۲ | +۴ | +۳ | ۰/۰۶۳ | A-1 |
| - | ۹ | ۱/۰ | ۰/۳۳۲ | +۳ | +۳ | ۰/۰۹۸ | A-2 |
| - | ۱۲ | ۴/۰ | ۰/۳۴۵ | +۳ | +۳ | ۰/۱۵۱ | A-3 |
| - | > ۳۰ | ۱۲/۰ | ۰/۳۵۸ | +۳ | +۳ | ۰/۲۲۶ | A-4 |
| - | > ۳۰ | ۲۰/۰ | ۰/۳۶۷ | +۳ | +۳ | ۰/۲۸۵ | A-5 |
| - | ۲۰ | ۱۲/۰ | ۰/۳۳۶ | +۴ | +۲ | ۰/۲۷۷ | A-6 |
| - | ۱۵ | ۶/۵ | ۰/۲۹۶ | +۴ | +۲ | ۰/۲۵۹ | A-7 |
| - | ۸ | ۳/۰ | ۰/۲۶۹ | +۴ | +۲ | ۰/۲۴۴ | A-8 |
| - | ۹ | ۳/۰ | ۰/۲۵۱ | +۴ | +۳ | ۰/۲۳۲ | A-9 |
| - | ۹ | ۳/۰ | ۰/۲۳۱ | +۴ | +۳ | ۰/۲۲۱ | A-10 |
| - | ۱۲ | ۵/۰ | ۰/۲۱۹ | +۳ | +۳ | ۰/۲۱۶ | A-11 |
| - | ۱۵ | ۳/۰ | ۰/۲۸۳ | +۳ | +۳ | ۰/۰۵۵ | A-12 |
| - | ۲۱ | ۳/۰ | ۰/۳۰۱ | +۳ | +۲ | ۰/۰۹۳ | A-13 |
| - | ۱۰ | ۳/۰ | ۰/۲۲۶ | +۳ | +۳ | ۰/۲۱۹ | B-1 |
| - | ۹ | ۲/۰ | ۰/۲۱۴ | +۳ | +۲ | ۰/۲۲۸ | B-2 |
| - | ۹ | ۲/۰ | ۰/۲۱۴ | +۳ | +۱ | ۰/۲۲۸ | B-3 |
| - | ۲۰ | ۱۰/۰ | ۰/۲۰۲ | +۳ | +۱ | ۰/۲۳۶ | B-4 |
| - | > ۳۰ | > ۳۰/۰ | ۰/۱۷۵ | +۳ | +۱ | ۰/۲۴۴ | B-5 |
| - | > ۳۰ | > ۳۰/۰ | *- | +۳ | +۱ | ۰/۲۶۱ | B-6 |
| - | > ۳۰ | > ۳۰/۰ | ۰/۲۱۶ | +۳ | +۲ | ۰/۲۴۰ | B-7 |
| - | > ۳۰ | > ۳۰/۰ | ۰/۲۱۶ | +۳ | +۲ | ۰/۲۳۸ | B-8 |
| - | > ۳۰ | ۳۰/۰ | ۰/۱۹۶ | +۳ | +۲ | ۰/۲۶۳ | B-9 |
| - | > ۳۰ | > ۳۰/۰ | ۰/۱۷۳ | +۳ | +۲ | ۰/۲۸۱ | B-10 |
| - | ۱۵ | ۶/۰ | ۰/۲۲۷ | +۴ | +۲ | ۰/۲۹۸ | B-11 |
| - | ۱۵ | ۶/۰ | ۰/۲۲۷ | +۴ | +۲ | ۰/۳۰۲ | B-12 |
| - | ۱۰ | ۲/۵ | ۰/۲۱۸ | +۳ | +۲ | ۰/۴۰۰ | B-13 |
| - | ۱۸ | ۸/۰ | ۰/۱۹۶ | +۳ | +۲ | ۰/۴۶۵ | B-14 |
| - | ۵ | ۱/۰ | ۰/۳۱۲ | +۳ | +۲ | ۰/۱۴۱ | B-15 |
| - | ۱۵ | ۳/۰ | ۰/۲۶۸ | +۳ | +۱ | ۰/۱۲۳ | B-16 |
| ۷ | ۹ | ۱/۵ | ۰/۳۲۷ | +۳ | +۳ | ۰/۱۲۸ | D-1 |
| ۶ | ۶ | ۱/۰ | ۰/۳۰۳ | +۳ | +۳ | ۰/۱۷۳ | D-2 |
| ۷ | ۹ | ۴/۰ | ۰/۲۲۵ | +۳ | +۳ | ۰/۲۵۶ | D-3 |
| ۶ | ۹ | ۲/۰ | ۰/۲۰۲ | +۳ | +۲ | ۰/۲۶۳ | D-4 |
| ۶ | ۱۷ | ۶/۰ | ۰/۲۱۹ | +۳ | +۲ | ۰/۳۰۳ | D-5 |

*: به دلیل چسبندگی پایین، قابل اندازه‌گیری نبود

زمانی که فیلم در حلال، منحل شد به عنوان زمان انحلال در نظر گرفته شد [۱۷].

برای اندازه‌گیری قدرت چسبندگی فیلم *Ex vivo*، از مخاط گونه گاو به عنوان مدلی از سطح مخاط برای تعیین قدرت چسبندگی فیلم استفاده شد. برای انجام این آزمایش فیلم به فک

برای تعیین زمان از هم پاشیدن و انحلال فیلم‌ها در محیط *in vitro*، یک قطعه $2 \times 1\text{cm}^2$ از فیلم در یک پلیت با 25 ml بافر فسفات $6/8$ با دمای 37°C درجه بر روی حمام آب (37°C درجه) دستگاه روتاری با دور 50 rpm گذاشته شد. زمانی که فیلم شروع به از هم پاشیدن می‌کند به عنوان زمان از هم پاشیدن و

کل داروی بارگیری شده، t : زمان فرمولاسیون برگزیده، بر اساس مقایسه نتایج به دست آمده با معیارهای استاندارد موجود در مطالعات پیشین انتخاب شد[۱۵، ۷-۹].

یافته‌ها

نتایج آزمایش‌های تحمل در مقابل تا شدن، شفافیت، ضخامت، قدرت چسبندگی، زمان شروع از هم پاشیدن و انحلال و pH سطحی در جدول ۵ آورده شده است. ضخامت فیلم‌های سری A1 تا A5 (ارزیابی مقادیر متفاوت پلیمر NaCMC) در دامنه ۰/۰ تا ۰/۳۱۲ میکرون و قدرت چسبندگی آن‌ها در دامنه ۰/۳۱۲ تا ۰/۲۸۵ میکرون بازیابی شده است. نتایج آزمایش‌های ترتیب ضخامت فیلم‌های سری A6 تا A11 (ارزیابی مقادیر متفاوت دو پلیمر NaCMC و PVA) در دامنه ۰/۰ تا ۰/۲۱۶ میکرون بازیابی شده است. نتایج آزمایش‌های سری B1 تا B6 (ارزیابی مقادیر متفاوت SLS) در دامنه ۰/۰ تا ۰/۲۲۶ میکرون بازیابی شده است. نتایج آزمایش‌های سری B7 تا B10 (ارزیابی مقادیر متفاوت MCC) در دامنه ۰/۰ تا ۰/۲۸۱ میکرون بازیابی شده است. نتایج آزمایش‌های سری B11 تا B14 (ارزیابی مقادیر متفاوت SSG) در دامنه ۰/۰ تا ۰/۴۶۵ میکرون بازیابی شده است. نتایج آزمایش‌های سری B15 تا B18 (ارزیابی مقادیر متفاوت DE) در دامنه ۰/۰ تا ۰/۰/۱۹۶ بازیابی شده است.

محتوای دارویی فیلم‌های دو لایه D1، D2، D3، D4 و D5 تعیین شد که به ترتیب حاوی ۸۳، ۸۱، ۹۵، ۹۴ و ۹۶ درصد از داروی بارگیری شده، بودند. آزادسازی دارو در محیط *in vitro* برای فرمولاسیون‌های منتخب و پروفایل‌های آزادسازی دارو در نمودار ۱ رسم شد. مکانیسم آزادسازی دارو مطابق با معادله کورسمایر-پیاس و نمودارهای مربوطه ترسیم و مقادیر عددی k و R^2 محاسبه شده و در جدول ۷ آورده شده است. پارامترهای مربوط به انحلال دارو شامل (Area Under curve AUC) متوسط زمان انحلال (MDT) و درصد کارایی انحلال (DE) محاسبه شده و در جدول ۷ آورده شده است.

بالایی دستگاه SANTAM و مخاط گونه گاو (پس از خیس شدن با چند قطره آب) به فک پایین دستگاه چسبانده شد. سپس فیلم به مدت یک دقیقه در تماس کامل با مخاط قرار گرفت. نیرویی که برای جدا کردن فیلم از سطح مخاط لازم است محاسبه و به عنوان قدرت چسبندگی فیلم گزارش شد[۱۸].

برای تعیین آزادسازی دارو در محیط *in vitro* از سل فرانز حاوی بافر فسفات با pH ۶/۸ و دمای ۳۷ درجه سانتی‌گراد برای تعیین آزادسازی دارو استفاده شد. روی سل، فیلتر ۰/۴۵ میکرون گذاشته شد. ۲ ml نمونه هر ۱۰ دقیقه تا ۱۲۰ دقیقه گرفته شد و با بافر فسفات با pH ۶/۸ حل کرده و سپس اسپکتروفوتومتر اندازه‌گیری و نتایج آن تحلیل و محاسبه شد[۱۹].

برای تعیین pH سطحی فیلم‌های منتخب، فرمولاسیون‌های منتخب، یک ساعت بر روی آکار گذاشته شده تا تورم پیدا کنند. کاغذ pH سنج روی سطح متورم شده فیلم قرار داده شد تا pH سطحی آن سنجش شود. برای تهیه آکار، (m/v) ۲ درصد آکار را در بافر فسفات ایزوتوپیک گرم با pH ۶/۲ حل کرده و محلول در پتری دیش ریخته شد تا در دمای اتاق به حالت جامد در بیاید[۲۰].

برای بررسی کیتیک و مکانیسم آزادسازی دارو از اشکال دارویی پلیمری معادله Korsmeyer-Peppas مورد استفاده قرار گرفت. فرمول این معادله به شرح زیر است[۲۱]:

$$\text{Log}(\text{Mt} / \text{M}^\infty) = \text{log km} + \text{nLog t}$$

Mt : مقدار داروی آزاد شده تا زمان t ; K_m : ثابت رهش دارو که نشان دهنده ویژگی‌های ساختاری سیستم می‌باشد، n : نمای انتشار که بیان کننده مکانیسم آزادسازی دارو می‌باشد.

محاسبه MDT:

Miangkin زمان انحلال (Mean dissolution time) است که سرعت فرایند انحلال را نشان می‌دهد. هر چقدر که MDT بیشتر باشد سرعت آزادسازی دارو کمتر است[۲۲].

$$\text{MDT} = (\sum_i^n = 1 \text{t}_{\text{mid}} \times \Delta M) / \sum_i^n = 1 \Delta M$$

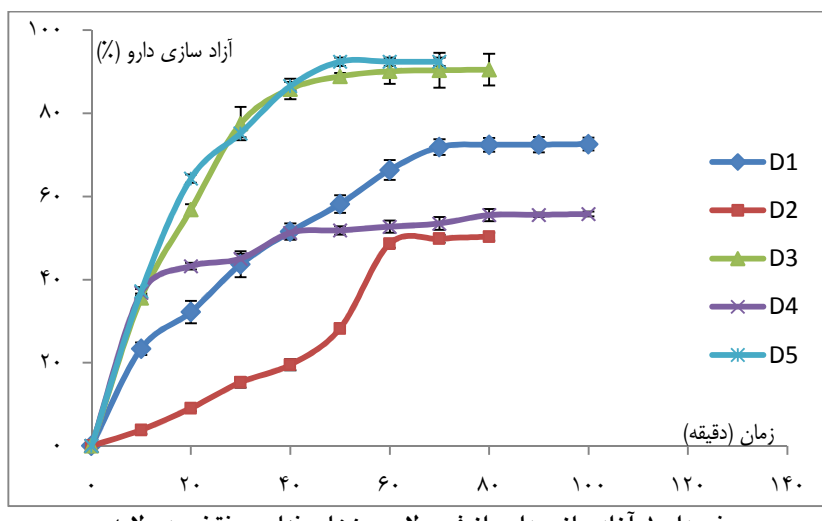
t_{min} : میانگین دو زمان متوالی t_1 و t_2 ; ΔM : اختلاف داروی آزاد شده بین دو زمان متوالی محاسبه درصد کارایی انحلال[۲۲]

$$\text{DE \% (Dissolution efficiency)} = (\text{AUC}_{0-t} / \text{y}_{100} \times t) \times 100$$

y_{100} : مجموع سطح زیر منحنی از زمان صفر تا t ; AUC_{0-t} : میانگین زمان انحلال (Mean dissolution time)

جدول ۷. نتایج بررسی پارامترهای کینتیکی آزادسازی دارو از فیلم‌های مخاط چسب دو لایه فنتول آمین مزیلات

| پارامترهای مربوط به معادله پیاس | | | | | R^2 | فرمولاسیون |
|---------------------------------|------------------|--------------------------|-----------------|----------------|-------|------------|
| AUC 0-120 ^{††} | DE% [†] | MDT ^{***} (min) | N ^{**} | K [*] | | |
| ۶۷۴۰/۶۶ | ۵۶/۱۷ | ۲۷/۷۹ | ۰/۵۹ | ۰/۰۶ | ۰/۹۹ | D1 |
| ۴۰۱۲/۰۵ | ۳۳/۴۳ | ۴۰/۹۲ | ۱/۴۴ | ۰/۰۰۱ | ۰/۹۸ | D2 |
| ۹۳۳۴/۴۰ | ۷۷/۷۸ | ۱۷/۳۶ | ۰/۵۳ | ۰/۱۱ | ۰/۹۵ | D3 |
| ۵۸۵۱/۴۶ | ۴۸/۷۶ | ۱۵/۸۶ | ۰/۱۹ | ۰/۲۳ | ۰/۹۶ | D4 |
| ۹۵۷۵/۷۹ | ۷۹/۷۹ | ۱۶/۷۱ | ۰/۵۷ | ۰/۱۰ | ۰/۹۶ | D5 |

^{††}: ثابت رهش دارو، ^{**}: میانگین زمان انحلال، ^{***}: نمای انتشار،^{*}: کارایی انحلال، [†]: مجموع سطح زیر منحنی

می‌سازد[۱۶]. فیلم مخاط چسب تهیه شده برای بازگشت بی‌حسی بافت داخل دهان، علاوه بر ظاهر و ویژگی‌های فیزیکی و زمان از هم پاشیدن و انحلال و pH سطحی مناسب، می‌تواند دارو را به عروق خونی محل تزریق داروی بی‌حسی برساند و سبب گشادی عروق بافت و برقراری مناسب‌تر شرایط سینک برای دفع داروی بی‌حسی از موضع مورد نظر شود.

در فیلم‌های تهیه شده با پلیمر NaCMC، ۱ تا ۵ درصد وزنی-حجمی پلیمر استفاده شد که اگر مقدار پلیمر از ۲ درصد وزنی به حجمی کمتر شود (با ۵ درصد حجمی به حجمی پلاستی سایزرا) فیلم شروع به جمع شدن می‌کند، در حالی که طبق جدول ۵، با ۲ درصد وزنی به حجمی از آن بهترین زمان شروع از هم پاشیدن را نسبت به پلیمرهای دیگر داشت که به نظر می‌رسد به دلیل ویژگی ذاتی از هم پاشانندگی خود پلیمر است[۲۳]، اما آزادسازی دارو از این پلیمر به خوبی فیلم‌های

بحث

در مطالعه‌ای که توسط Hersh و همکاران [۵] به منظور کاهش مدت بی‌حسی بافت نرم دهان انجام شد، از شکل تزریقی داروی فنتول آمین مزیلات استفاده شد و نشان داد که این دارو، طول مدت بی‌حسی بافت نرم را آشکارا کاهش می‌دهد. در مطالعه دیگر چند ساعت پس از تزریق دارو در بعضی بیماران، درد اندکی در فک گزارش شد، که شاید به دلیل آسیب بافتی ناشی از تزریق است[۲]. فیلم مخاط چسب فنتول آمین مزیلات نسبت به شکل آمپول آن می‌تواند از وارد ساختن آسیب به بافت بیمار و شاید کاهش درد متعاقب فک بکاهد. همچنین بیمار خود می‌تواند نسبت به شروع یا قطع درمان در خارج از مطب اقدام نماید. از داروی فنتول آمین مزیلات، تاکنون فیلم دارویی تهیه نشده است. حلalیت خوب این دارو در آب، تهیه فیلم مخاط چسب حل شونده در دهان حاوی PA را امکان‌پذیر

تأثیر MCC به عنوان از هم پاشاننده در مطالعه Ghorwade و همکاران [۱۲] تأیید شده است. فیلم‌های ساخته شده از آن نشان داد که مقادیر مختلف آن نه تنها سبب کاهش زمان از هم پاشیدن و انحلال نمی‌شد، بلکه باعث افزایش این زمان‌ها می‌شد. این ماده نیز همانند سایر از هم پاشاننده‌ها در این مطالعه سبب کاهش شفافیت و چسبندگی فیلم‌ها شد. نتایج تأثیر از هم پاشاننده‌ها در جدول ۶ گزارش شد.

تأثیر مواد اسموتیک در جذب بیشتر آب به فرمولاسیون و از هم پاشیدگی سریع‌تر فیلم در مطالعه Kumar و Prakas [۹] بررسی شده است. NaCl به عنوان یک ماده اسموتیک در مقادیر ذکر شده در این مطالعه هیچ تأثیر محسوسی ایجاد نکرد، نتایج در جدول ۶ گزارش شد.

برای کاهش جذب سیستمیک دارو و عوارض ناشی از آن، لایه دوم (مقاوم) بر روی لایه اول قرار داده شد. اتیل سلوزلز به عنوان پلیمر لایه دوم پلیمری کاملاً نامحلول در آب است [۲۵]. از دو نوع حلال برای حل کردن اتیل سلوزلز و پروپیلن گلایکول (پلاستی سایزر) موجود در لایه دوم، استفاده شد. فیلم‌های لایه دومی که حلال آن مخلوط تولوئن و الكل بود، انعطاف بهتری نسبت به فیلم‌های لایه دومی که حلال آن‌ها فقط الكل بود، داشتند. مخلوط تولوئن و الكل قبلًا در مطالعه Patil و Rao [۱۱] به عنوان حلال لایه مقاوم فیلم‌های مخاط چسب دهانی استفاده شده است. تولوئن حلال فراری است، اما می‌تواند مقادیر جزیی از آن در فیلم نهایی باقی بماند. در معرض تولوئن بودن، می‌تواند عوارض عصبی و تحیریکی ایجاد کند [۲۶]. بنابراین از الكل تنها هم به عنوان حلال استفاده شد. در فرمولهایی که با الكل ساخته شدند، ۰/۲۵ درصد تا ۲ درصد اتیل سلوزلز استفاده شد. اگر بیش از ۰/۵ درصد اتیل سلوزلز استفاده می‌شد، اتیل سلوزلزهای حل نشده به صورت ذرات سفید روی سطح فیلم باقی‌مانده و در مقادیر کمتر از آن، فیلم به درستی شکل نمی‌گرفت. بنابراین فرمولاسیون C-8 بهترین فرمولاسیون لایه دوم با حلال الكل بود. در فرمولاسیون‌های لایه دومی که مخلوط تولوئن و الكل به عنوان حلال استفاده شد، بهترین فرمولاسیون از نظر تشکیل مناسب فیلم و انعطاف، فرمولاسیون ۶-C بود. اگر مقدار پلاستی سایزر استفاده شده در لایه دوم، بیش از ۰/۵ درصد بود، حل

دارای پلیمر PVA نبود که می‌تواند به دلیل ژله‌ای شدن آن در تماس با آب، آزادسازی را تا حدودی به تأخیر اندازد. برای افزایش هیدراتاسیون فیلم‌ها و در نتیجه سریع‌تر شدن زمان از هم پاشیدن و انحلال، به فیلم‌های دارای پلیمر NaCMC، پلیمر HPMC هم افزوده شد. در مطالعه Kumar و همکاران [۸] به نحوه تأثیر این پلیمر در هیدراتاسیون فیلم‌ها اشاره شده است. در فیلم‌های تهیه شده با مخلوط NaCMC و HPMC، اثر HPMC به عنوان یک افزاینده هیدراتاسیون فیلم در عمل مشاهده نشد و زمان از هم پاشیدن و انحلال فیلم کاهش محسوسی پیدا نکرد. مخلوط این دو، شفافیت را نیز کاهش داد. با افزایش نسبت NaCMC به HPMC مخلوط مایع فیلم با ویسکوز شدن سبب محبوس شدن هوا در داخل فیلم شد، به طوری که در نسبت ۱/۶ درصد از NaCMC و ۰/۸ درصد از HPMC، امکان شکل‌گیری فیلم نبود.

اثر SLS به عنوان یک از هم پاشاننده و یک افزاینده نفوذ در مطالعه Kumar و Prakash [۹] مورد بررسی و تأیید قرار گرفته است، افزایش مقدار آن سبب کاهش شفافیت و قدرت چسبندگی فیلم می‌شد و حتی افزایش آن بیش از مقدار بهینه سبب طولانی شدن زمان از هم پاشیدن و انحلال فیلم می‌شد. آزمایش آزادسازی ثابت کرد که SLS سبب کاهش آزادسازی دارو می‌شود که شاید به علت تداخل آن با شبکه پلیمری فیلم تشکیل شده باشد. در بررسی مقدار داروی موجود در فیلم، نشانه‌ای بر تداخل SLS و دارو یافت نشد. اما به طور کلی نتایج نشان داد مقدار بهینه آن سبب کاهش زمان از هم پاشیدن و انحلال فیلم می‌شود.

از SSG نیز به عنوان یک از هم پاشاننده در فرمولاسیون‌ها استفاده شد که در مطالعه Yellanki و همکاران [۲۴]، تأثیر آن تأیید شده است. توانایی SSG در آزادسازی سریع‌تر دارو از فیلم، بسیار بیشتر از توانایی آن در کاهش زمان از هم پاشیدگی فیلم بود و این نشان داد که رابطه مستقیمی بین میزان کاهش زمان از هم پاشیدن و آزادسازی سریع‌تر دارو نیست. بررسی چسبندگی و شفافیت فیلم‌های ساخته شده با SSG نشان داد که میزان کاهش چسبندگی و شفافیت آن‌ها نسبت به دیگر از هم پاشاننده‌ها کمتر بود.

هم پاشانندگی را در میان از هم پاشانده‌های استفاده شده در این مطالعه داشت. همچنین خاصیت افزاینده نفوذ بودن آن، استفاده از آن را در فرمولاسیون‌هایی که اجزا با آن تداخل ندارند تأکید می‌کند.

این مطالعه مشخص نمود که تهیه فیلم مخاط چسب فنتولامین مزیلات به منظور بازگشت بی‌حسی موضعی بافت نرم در دندان‌پزشکی، با ویژگی‌های دارویی مناسب امکان‌پذیر است. بهترین فرمولاسیون، فرمولاسیون D-5 با الگوی آزادسازی غیر فیکی ($n = 57/0$) است. فرمولاسیون D-1 نیز با الگوی آزادسازی غیر فیکی ($n = 59/0$) پس از D-5، با چسبندگی بیشتر و آزادسازی کمتر قابل قبول است.

نتیجه‌گیری

با توجه به میزان آزادسازی دارو و ویژگی‌های دارویی ذکر شده در مطالعه حاضر، از فرمولاسیون D-5 می‌توان به عنوان فیلم مخاط چسب فنتولامین مزیلات برای بازگشت بی‌حسی و ارتقای کیفیت زندگی بیماران، در مطالعات بالینی آینده استفاده کرد.

تشکر و قدردانی

در پایان از تکنیسین محترم آزمایشگاه فارماستیکس، سرکار خانم مؤذن و همه عزیزانی که به نحوی در مراحل اجرای این مطالعه همکاری داشتند و همچنین از معاونت پژوهشی دانشگاه علوم پزشکی اصفهان به دلیل تأمین هزینه‌های این طرح پژوهشی، سپاسگزاری می‌نماییم.

نمی‌شد و بعد از خشک شدن فیلم به صورت قطرات مایع روی فیلم قرار می‌گرفت.

برای ساخت فیلم دو لایه، بعد از خشک شدن لایه اول، مقدار لازم از لایه دوم بر روی آن ریخته شد[۲۷]. اما آزمایش‌های تعیین مقدار داروی فیلم و میزان آزادسازی نشان داد که در فرمولاسیون‌های لایه دومی که حلال آن‌ها تولوئون است، وقتی لایه دوم بر لایه اول ریخته می‌شود با داروی موجود در لایه اول تداخل ایجاد می‌کرد و مقدار دارو و میزان آزادسازی آن از فیلم‌هایی که به این شکل ساخته شده‌اند، بسیار کم بود.

بر اساس مطالعه Puratchikody و همکاران[۷]، محتوای دارویی فیلم‌ها از ۸۵ درصد تا ۹۵ درصد، گزارش شده است. در این مطالعه محتوای دارویی فیلم‌ها، ۸۳ درصد تا ۹۶ درصد بود که بر اساس معیارهای استاندارد مطالعه پیشین مطلوب تلقی می‌شود. در مطالعه Kumar و Prakas[۹]، آزادسازی دارو ۹۰ درصد گزارش شده است. در این مطالعه آزادسازی بهترین فرمولاسیون (D-5)، ۹۲ درصد بود که بر اساس معیارهای استاندارد مطالعه پیشین مطلوب تلقی می‌شود.

نتایج پارامترهای کیتیکی در جدول ۷ آورده شده است. فرمولاسیون D-2 بیشترین میانگین زمان انحلال (MDT) و فرمولاسیون D-4 کمترین آن را داشت. با افزایش D-4 سرعت آزادسازی دارو کمتر می‌شود، بنابراین فرمولاسیون D-4 بیشترین سرعت آزادسازی با الگوی فیکی ($n = 19/0$) را داشت اما به دلیل تداخل ذکر شده بین SLS و اجزاء میزان آزادسازی دارو کمتر بود. صرفظیر از تداخل SLS با اجزاء با توجه به نتایج زمان از هم پاشیدن، انحلال و آزادسازی، SLS بهترین قدرت از

References

1. Malamed SF. Handbook of Local Anesthesia. Philadelphia, PA: Elsevier Health Sciences; 2004.
2. Hersh EV, Hermann DG, Lamp CJ, Johnson PD, MacAfee KA. Assessing the duration of mandibular soft tissue anesthesia. J Am Dent Assoc 1995; 126(11): 1531-6.
3. Moore PA, Hersh EV, Papas AS, Goodson JM, Yagiela JA, Rutherford B, et al. Pharmacokinetics of lidocaine with epinephrine following local anesthesia reversal with phentolamine mesylate. Anesth Prog 2008; 55(2): 40-8
4. Food and Drug Administration Center for Drug Evaluation and Research, Approval letter for Phentolamine mesylate. 2007 [Online]. [cited 2007 May 5]; Available from: <http://www.fda.gov/cder/foi/anda/98/40235ap.pdf>
5. Hersh EV, Moore PA, Papas AS, Goodson JM, Navalta LA, Rogy S, et al. Reversal of soft-tissue local anesthesia with phentolamine mesylate in adolescents and adults. J Am Dent Assoc 2008; 139(8): 1080-93.
6. Bahri-Najafi R, Khodarahmi GH, Yazdanian E, Peikanpour M. Formulation and Evaluation of Triamcinolone Acetonide Mucoadhesive Film as Treatment of Aphthous Stomatitis and Oral Inflammatory Diseases. J Isfahan Med Sch 2013; 30(220): 2419-31.

7. Puratchikody A, Prasanth VV, Mathew ST, Kumar BA. Development and characterization of mucoadhesive patches of salbutamol sulfate for unidirectional buccal drug delivery. *Acta Pharm* 2011; 61(2): 157-70.
8. Kumar M, Garg G, Kumar P, Kulakarni GT, Kumar A. Design in vitro evaluation of mucoadhesive buccal films containing Famotidine. *Int J Pharm Pharm Sci* 2010; 2(3): 86-90.
9. Kumar JA, Prakash CH. Effect of superdisintegrating agent and osmogens on ciprofloxacin loaded naturally occurring biodegradable coated tablets for colon targeting. *International Journal of Pharmacy & Pharmaceutical Sciences* 2010; 2(4): 160.
10. Okamoto H, Taguchi H, Iida K, Danjo K. Development of polymer film dosage forms of lidocaine for buccal administration. I. Penetration rate and release rate. *J Control Release* 2001; 77(3): 253-60.
11. Patil JS, Rao KP. Evaluation of buccal patches of lornoxicam. *Int J Pharm Bio Sci* 2010; 1(4): 587-96.
12. Ghorwade VM, Patil A, Patil S, Ikkurthi K, Inuganti K, Porandla V. Formulation and Evaluation of Montelukast Sodium Fast Dissolving Films. *Research Journal of Pharmaceutical, Biological and Chemical Sciences* 2011; 2(3): 880-8.
13. Shojaei AH, Chang RK, Guo X, Burnside BA, Couch RA. Systemic Drug Delivery via the Buccal Mucosal Route. *Pharmaceutical Technology* 2001; 1(1): 70-81.
14. Laviola M, McGavin SK, Freer GA, Plancich G, Woodbury SC, Marinkovich S, et al. Randomized study of phentolamine mesylate for reversal of local anesthesia. *J Dent Res* 2008; 87(7): 635-9.
15. Peikanpour M. Preparation and evaluation of nicotine slow release mucoadhesive film for nicotine replacement therapy [Thesis]. Isfahan, Iran: School of Pharmacy, Isfahan University of Medical Sciences; 2012.
16. Moffat AC, Osselton D, Widdop B, Coverley Clarke EG. *Clarke's analysis of drugs and poisons*. 3rd ed. London, UK: Pharmaceutical Press; 2004. p. 1440-1.
17. Goudanavar PS, Bagali RS, Patil SM, Chandashkhara S. Formulation and in-vitro evaluation of mucoadhesive buccal films of Glibenclamide. *Der Pharmacia Lettre* 2010; 2(1): 382-7.
18. Patel GM, Patel AP. A novel effervescent bioadhesive vaginal tablet of ketoconazole: formulation and invitro evaluation. *Int J PharmTech Res* 2010; 2(1): 656-67.
19. Kumar SV, Gavaskar B, Sharan G, Rao YM. Verview on fast dissolving Films. *Int J Pharmacy and Pharm Sci*, 2010; 2(3): 29-33.
20. Patel JG, Ravat HD, Patel KN, Patel BA, Patel PA. Formulation and Evaluation of Mouth Dissolving Film of Domperidone. *International Journal for Pharmaceutical Research Scholars* 2012; 1(2): 244-53.
21. Kanjickal DG, Lopina ST. Modeling of drug release from polymeric delivery systems--a review. *Crit Rev Ther Drug Carrier Syst* 2004; 21(5): 345-86.
22. Dash S, Murthy PN, Nath L, Chowdhury P. Kinetic modeling on drug release from controlled drug delivery systems. *Acta Pol Pharm* 2010; 67(3): 217-23.
23. Rowe RC, Sheskey PJ, Weller PJ. *Handbook of pharmaceutical excipients*. 4th ed. London, UK: Pharmaceutical Press; 2003. p. 97-100.
24. Yellanki S, Jagtap S, Masareddy R. Dissofilm: a novel approach for delivery of phenobarbital; design and characterization. *J Young Pharm* 2011; 3(3): 181-8.
25. Ethylcellulose. In: Rowe RC, Sheskey PJ, Weller PJ. *Handbook of pharmaceutical excipients*. 4th ed. London, UK: Pharmaceutical Press; 2003. p. 237-41.
26. Benignus VA. Health effects of toluene: a review. *Neurotoxicology* 1981; 2(3): 567-88.
27. Najm T. Formulation and evaluation of sodium phenytoin bucco adhesive polymeric film for wounds [Thesis]. Shiraz, Iran: School of Pharmacy, Shiraz University of Medical Sciences; 2008.

Design and evaluation of the two-layer mucoadhesive film of phentolamine mesylate to reverse oral soft tissue local anesthesia

Rahim Bahrinajafi*, Mohammadfazel Pouraboutaleb, Abolfazl Aslani,
Mohammad Peikanpour, Omid Fakheran Esfahani

Abstract

Introduction: Long soft tissue anesthesia in dentistry results in problems such as difficulties in speaking and swallowing, inadvertent biting of soft tissues and a temporary negative influence on patients' quality of life. Intra-oral injection of phentolamine mesylate is used to decrease local anesthesia duration. Mucoadhesive film containing phentolamine mesylate can be used as a needle-free form of drug to reduce tissue damage and local pain. The aim of this study was to design and evaluate a two-layer film of phentolamine mesylate with one layer containing drug and the other containing a resistant layer for diffusion of the drug in one direction.

Materials and Methods: In this experimental study, mucoadhesive polymers and drug were used in the first layer and ethyl cellulose was used in the second layer. Disintegrating agents, osmotic agents and plasticizers were used in first layer. The prepared films were evaluated in terms of physical and pharmaceutical properties including flexibility, thickness, ex vivo adhesion, disintegration time, superficial pH, and drug content and in vitro drug release. The formulation was selected based on standards of previous studies.

Results: Of 44 different formulations the mucoadhesive film prepared by mixing PVA and NaCMC polymers and sodium starch glycolate disintegrating agent was desirable in terms of pharmaceutical features and had the highest drug release rate (96%). EC100cps polymer and alcohol as a solvent were selected in order to prepare the second layer.

Conclusion: In order to reverse soft tissue local anesthesia in dentistry, producing of phentolamine mesylate mucoadhesive film is possible with suitable pharmaceutical effects.

Key words: Local anesthesia, Pharmacy, Phentolamine mesilate

Received: 13 Apr, 2013

Accepted: 6 Aug, 2013

Address: Associate Professor, Department of Pharmaceutics, School of Pharmacy, Isfahan University of Medical Sciences, Isfahan, Iran

Email: bahrir@pharm.mui.ac.ir

Citation: Bahrinajafi R, Pouraboutaleb M, Aslani A, Peikanpour M, Fakheran Esfahani O. Design and evaluation of the two-layer mucoadhesive film of phentolamine mesylate to reverse oral soft tissue local anesthesia. J Isfahan Dent Sch 2013; 9(4): 337-48.